

08

## Намагниченность карбина, сформированного на 3d-магнетиках

© С.Ю. Давыдов<sup>1</sup>, О.В. Посредник<sup>2</sup><sup>1</sup> ФТИ им. А.Ф. Иоффе, Санкт-Петербург, Россия<sup>2</sup> Санкт-Петербургский государственный электротехнический университет „ЛЭТИ“, Санкт-Петербург, Россия  
E-mail: lesya1976@mail.ru

Поступило в Редакцию 5 ноября 2025 г.

В окончательной редакции 13 декабря 2025 г.

Принято к публикации 13 декабря 2025 г.

В рамках адсорбционного подхода к описанию электронной структуры эпитаксиальных слоев получены аналитические выражения для намагниченности кумулена и полиина, сформированных на магнитной подложке. Для описания плотности состояний спиновых  $\sigma$ -подзон Fe, Co и Ni использована модель Фриделя. Показано, что спиновый момент атомов углерода карбина пропорционален взаимному смещению  $\sigma$ -подзон подложки.

**Ключевые слова:** кумулен, полиин, числа заполнения, магнитный момент.

DOI: 10.61011/PJTF.2026.08.62679.20557

С возникновением графеновой тематики усилился интерес к одномерным углеродным структурам (см. [1–6]), или карбинам, представляющим собой углеродные цепочки, имеющие две модификации: металлический кумулен с двойными связями и полупроводниковый полиин с чередующимися одинарными и тройными связями. К настоящему времени достаточно длинные карбиновые цепочки удалось синтезировать на различных субстратах [2,3] (см. также [7,8]). Это обстоятельство наряду с известной способностью атомов, адсорбированных на бороздчатых гранях переходных металлов, образовывать одномерные структуры [9] побудило одного из авторов рассмотреть возможность формирования карбинов на немагнитных подложках из переходных металлов [10]. В настоящей работе в качестве подложек выбраны 3d-магнетики Fe, Co и Ni и основной задачей является определение величины спиновых моментов карбинов, наведенных подложками (эффект близости). При этом мы предлагаем простую модель эффекта близости, не связанную с конкретной кристаллографической структурой интерфейса и позволяющую получить аналитические результаты.

Воспользовавшись функциями Грина свободного кумулена (полиина)

$$G_{cum(pol)}^{-1}(\omega, k) = \omega - \varepsilon_{cum(pol)}(k) + i0^+, \quad (1)$$

где  $\omega$  — энергия,  $\varepsilon_{cum(pol)}(k)$  — закон дисперсии электронов в кумулене (полиине),  $k$  — волновой вектор [4], легко получить их энергетическую плотность состояний

$$\rho_{cum}(\omega) = \begin{cases} 1/\pi\sqrt{4t^2 - \omega^2}, & \omega^2 \leq 4t^2, \\ 0, & \omega^2 > 4t^2, \end{cases}$$

$$\rho_{pol}(\omega) = \begin{cases} |\omega|/\pi\sqrt{(4t^2 - \omega^2)(\omega^2 - \Delta t^2)}, & \Delta t^2 \leq \omega^2 \leq 4t^2, \\ 0, & \omega^2 < \Delta t^2, \quad \omega^2 > 4t^2. \end{cases} \quad (2)$$

Здесь  $t$  — энергия перескока (hopping energy) электрона между ближайшими соседями в кумулене и среднее арифметическое значение энергий перескоков (для одинарной и тройной связей) в полиине,  $\Delta t = \Delta_{pol}/2$ , где  $\Delta_{pol}$  — энергетическая щель в спектре полиина. По оценкам [4] при  $t \approx 3$  eV имеем  $\Delta_{pol} \approx 0.32$  eV. Отметим, что в (2) приведено точное выражение для плотности состояний полиина, взятое из работ [11,12] по SSH-модели (Su–Schrieffer–Heeger), в которой учитывается разность матричных элементов перехода электрона между соседями с тройными и одинарными связями, но игнорируется различие длин этих связей; в [4] учитываются оба эти фактора, но для плотности состояний приводится приближенное выражение (анзац).

В соответствии с адсорбционным подходом к описанию эпитаксиальных монослоев [13] из уравнения Дайсона получим функции Грина эпитаксиальных карбинов (эпикарбинов)

$$[\tilde{G}_{cum(pol)}^{\sigma}(\omega, k)]^{-1} = G_{cum(pol)}^{-1}(\omega, k) - \Sigma^{\sigma}(\omega),$$

где  $\Sigma^{\sigma}(\omega)$  — собственно-энергетическая часть, описывающая влияние подложки на электронные состояния в карбине,  $\sigma$  — спиновый индекс [4,10,13,14]. В качестве модели плотности состояний магнитной 3d-подложки  $\rho_d^{\sigma}(\omega)$ , необходимой для вычисления  $\Sigma^{\sigma}(\omega)$ , использовалась модель Фриделя типа „пьедестал“ [15]:

$$\rho_d^{\sigma}(\omega) = \begin{cases} 5/W_d, & |\Omega_{\sigma}| \leq W_d/2, \\ 0, & |\Omega_{\sigma}| > W_d/2. \end{cases} \quad (3)$$

Здесь  $W_d$  — ширина  $d$ -зоны,  $\Omega_{\sigma} = \omega - \omega_{0\sigma}$ ,  $\omega_{0\sigma}$  — энергия центра  $\sigma$ -подзоны. Полагая

$$\Sigma^{\sigma}(\omega) = \Lambda^{\sigma}(\omega) - i\Gamma^{\sigma}(\omega),$$

получим функции уширения и сдвига состояний подложки, равные соответственно

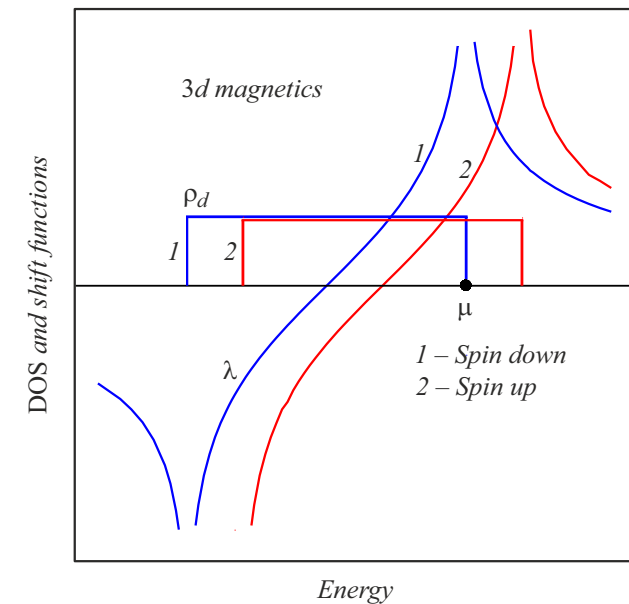
$$\Gamma^\sigma(\omega) \equiv \Gamma = 5\pi V^2/W_d \quad \text{при} \quad |\Omega_\sigma| \leq W_d/2,$$

$$\Gamma^\sigma(\omega) = 0 \quad \text{при} \quad |\Omega_\sigma| > W_d/2,$$

$$\Lambda^\sigma(\omega) = (\Gamma/\pi) \ln |(2\Omega_\sigma + W_d)/(2\Omega_\sigma - W_d)|,$$

где  $V$  — эффективный матричный элемент связи карбин–субстрат. Функции  $\rho_d^\sigma(\omega)$  и  $\Lambda^\sigma(\omega)$  схематически представлены на рис. 1.

В качестве подложек рассмотрим Fe, Co и Ni, для которых вычисленные в [16] без учета спина значения ширины  $d$ -зон  $W_d$  приведены в таблице. Далее, округляя для простоты числа заполнения  $d\sigma$ -подзон [17], будем считать, что  $\downarrow$ -подзона у всех трех металлов полностью заполнена, т.е.  $N_{d\downarrow} = 5$ , а  $N_{d\uparrow} = 2, 3$  и  $4$  для Fe, Co и Ni соответственно. Ширина  $d$ -зоны, приходящаяся на один спин,  $W_d^{(1)} = W_d/5$ , а результирующая ширина  $d$ -зоны с учетом сдвига подзон спин вниз и спин вверх равна  $W_d^{(\sigma)} = W_d + W_d^{(1)}(10 - N_{\downarrow} - N_{\uparrow})$ , откуда получаем значения, приведенные в таблице. Найденные значения  $W_d^{(\sigma)}$  значительно лучше совпадают с экспериментальными ширинами зон  $W_d^{exp}$  [8], чем бесспиновые значения  $W_d$ . Согласно [18], работа выхода железа  $\phi_d$  равна 4.67 и 4.81 eV для граней (100) и (111) соответственно, для поликристалла кобальта  $\phi_d = 4.41$  eV, для поликристалла никеля  $\phi_d = 4.5$  eV. Так как в настоящей работе мы стремимся к получению качественных результатов, для дальнейших оценок положим для Fe, Co и Ni работу выхода  $\phi_d = 4.5$  eV, т.е. равной предполагаемой работе выхода карбина  $\phi_{car}$ . Тогда энергия дна



**Рис. 1.** Безразмерные плотности состояний  $\sigma$ -подзон  $\rho_d \equiv 2\pi t \rho_d^\sigma$  и соответствующие безразмерные функции сдвига  $\lambda \equiv \pi \Lambda^\sigma / \Gamma$  для кумулена. 1 — состояния спин вниз, 2 — состояния спин вверх,  $\mu$  — химический потенциал.

зоны проводимости  $E_{bot}$  относительно уровня химического потенциала  $d$ -магнетика для всех подложек равна  $E_{bot} = -W_d$ , а энергия потолка зоны проводимости  $E_{top} = W_d^{(1)}(10 - N_{\downarrow} - N_{\uparrow})$ . Энергетические интервалы  $d\uparrow$ -подзон равны ( $E_{bot}^\uparrow = -W_d^{(1)}N_{\uparrow}$ ,  $E_{top}^\uparrow = W_d^{(1)}(5 - N_{\uparrow})$ ), откуда получаем (в eV): (−1.92, 2.88) для Fe, (−2.61, 1.74) для Co и (−3.04, 0.76) для Ni. Тогда энергии центров  $\sigma$ -подзон равны  $\omega_{0\downarrow} = -2.5W_d^{(1)} = -W_d/2$  и  $\omega_{0\uparrow} = W_d^{(1)}(2.5 - N_{\uparrow})$ , их численные значения приведены в таблице. Отметим, что наибольшими по величине энергетическими параметрами рассматриваемой задачи являются  $2t \sim W_d^{(\sigma)} \sim 6$  eV, наименьшим —  $\Delta_{pol} \sim 0.3$  eV.

Для дальнейшего необходимо вычислить плотности состояний эпитаксиальных карбинов

$$\tilde{\rho}_{cum(pol)}^\sigma(\omega) = -\pi^{-1} \text{Im} \int_{BZ} \tilde{G}_{cum(pol)}^\sigma(\omega, k) dk,$$

где интегрирование ведется по зоне Бриллюэна кумулена (полиина). Числа заполнения атомов эпитаксиальных карбинов при  $T = 0$  равны

$$\tilde{n}_{cum(pol)}^\sigma = \int_{-\infty}^{\mu} \tilde{\rho}_{cum(pol)}^\sigma(\omega) d\omega,$$

$$\tilde{n}_{cum(pol)} = \sum_{\sigma} \tilde{n}_{cum(pol)}^\sigma,$$

где  $\mu$  — химический потенциал; найдем навесные подложкой спиновые моменты эпитаксиального карбина  $\tilde{m}_{cum(pol)} = \tilde{n}_{cum(pol)}^\downarrow - \tilde{n}_{cum(pol)}^\uparrow$ .

Так как выражения для плотности состояний и числа заполнения невозможно получить в аналитическом виде, приходится прибегать к упрощениям. Как показывает анализ [4], в пределе слабой связи карбина с подложкой, когда  $\Gamma^2 \ll t^2$ , плотность состояний и число заполнения эпитаксиального карбина кумулена могут быть аппроксимированы следующими выражениями:

$$\tilde{\rho}_{\pm}^\sigma(\omega) = \frac{1}{\pi} \frac{\Gamma}{(\omega - \omega_{\pm}^\sigma)^2 + \Gamma^2}, \quad \tilde{n}_{\pm}^\sigma = \frac{1}{\pi} \text{arccot} \left( \frac{\omega_{\pm}^\sigma}{\Gamma} \right), \quad (4)$$

где значения энергий  $\omega_{\pm}^\sigma$  являются корнями уравнений  $\omega - \Lambda^\sigma(\omega) = \pm 2t$ , графическая иллюстрация решения которого представлена на рис. 2 на примере одной  $\sigma$ -подзоны: введение функций  $F_{\pm}^\sigma(\omega) = \pi(\omega \mp 2t)/\Gamma$  позволяет свести задачу к уравнениям  $F_{\pm}^\sigma(\omega) = \Lambda^\sigma(\omega)$ , корни которых определяются абсциссами точек пересечения наклонных прямых  $F_{\pm}$  (рис. 2) с графиком  $\lambda$  (рис. 1 и 2). В результате имеем  $\omega_{\pm}^\sigma \approx \pm 2t$  в предположении, что  $\Gamma \ll \min\{|E_{bot}^\sigma|, |\omega_{0\sigma}|\}$ . Отметим, что случай  $\Gamma^2 \gg t^2$  интереса не представляет, так как в этом пределе карбин распадается на цепочку слабосвязанных адатомов углерода.

В случае полиина в выражении для  $\tilde{n}_{\pm}^\sigma$  аргумент арктангенса равен  $(\omega_{\pm}^\sigma - \Delta_{pol}/2)/\Gamma$ . Суммарное число

Зонные параметры 3d-магнетиков (все энергетические характеристики даны в eV)

Металл	$W_d$	$N_{\downarrow}, N_{\uparrow}$	$W_d^{(1)}$	$W_d^{(\sigma)}$	$W_d^{exp}$	$-E_{bot}, E_{top}$	$-E_{bot}^{\uparrow}, E_{top}^{\uparrow}$	$-\omega_{0\downarrow}, \omega_{0\uparrow}$
Fe	4.82	5, 2	0.96	7.71	8.5	4.82, 0	1.92, 2.88	2.41, 0.48
Co	4.35	5, 3	0.87	6.09	6.9	4.35, 0	2.61, 1.74	2.18, 0.43
Ni	3.78	5, 4	0.76	4.54	5.4	3.78, 0	3.04, 0.76	1.89, -1.12

Примечание.  $W_d$  — теоретическое значение ширины  $d$ -зоны без учета спина,  $N_{\downarrow}(N_{\uparrow})$  — количество электронов в подзоне со спином вниз (вверх),  $W_d^{(1)}$  — ширина участка подзоны, приходящаяся на один спин,  $W_d^{(\sigma)}$  — теоретическое значение ширины  $d$ -зоны с учетом спина,  $W_d^{exp}$  — экспериментальное значение ширины  $d$ -зоны,  $E_{bot}(E_{top})$  — нижняя (верхняя) граница  $d$ -зоны шириной  $W_d^{(\sigma)}$ ,  $E_{bot}^{\uparrow}(E_{top}^{\uparrow})$  — нижняя (верхняя) граница подзоны со спином вверх,  $\omega_{0\downarrow}(\omega_{0\uparrow})$  — энергия центра подзоны со спином вниз (вверх).

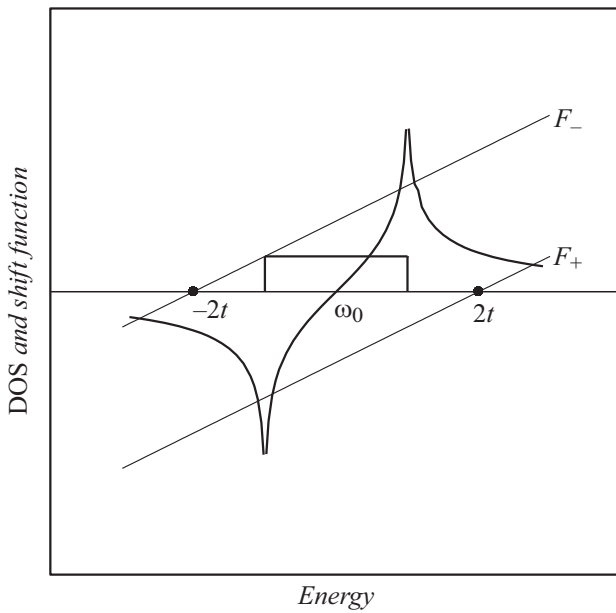


Рис. 2. К решению уравнения  $F_{\pm} = \pi(\omega \mp 2t)/\Gamma$ .

заполнения адатома карбина  $\tilde{n} = \sum_{\sigma, p=\mp} \tilde{n}_p^{\sigma} = 1$ , так как мы приравняли работы выхода карбина  $\varphi_{car}$  и подложек  $\varphi_d$ , вследствие чего переход заряда между ними отсутствует. Наведенный подложкой спиновый момент есть  $\tilde{m} = \sum_{p=\pm} (\tilde{n}_p^{\downarrow} - \tilde{n}_p^{\uparrow})$ , отсюда для карбина получаем  $|\tilde{m}| \sim \Gamma|\omega_{0\downarrow} - \omega_{0\uparrow}|/4t^2$ .

Если предположить, что во всех случаях параметр  $\Gamma$  приблизительно одинаков, то получим, что в ряду Fe–Co–Ni величина спинового момента убывает как 1:0.9:0.3. Воспользовавшись точными значениями чисел заполнения  $\sigma$ -подзон  $N_{\sigma}$  (см. табл. 2.2 в [18]), имеем последовательность 1:0.8:0.3. При  $\Gamma = 1$  eV получаем  $|\tilde{m}| \approx 0.08, 0.07$  и  $0.02$  для Fe, Co и Ni соответственно. Так как  $\Gamma = 5\pi V^2/W_d$  и, как следует из таблицы,  $5/W_d \sim 1$  eV $^{-1}$ , условие  $\Gamma = 1$  eV сводится к  $V \sim 1/\sqrt{\pi}$  eV или  $0.5$  eV. Отметим, что теоретическая оценка матричного элемента  $V$  является достаточно сложной задачей (см. [19]).

Использованная в настоящей работе схема вычисления наведенной намагниченности в эпитаксиальном (справедливая также для других эпитаксиальных и капсулиро-

ванных структур) является, по-видимому, простейшей, так как позволяет обойтись без зачастую неизвестной информации о геометрии контакта магнетика и немагнитного монослоя. Основная аппроксимация работы — использование анзаца для плотности состояний  $\tilde{\rho}_{\pm}^{\sigma}(\omega)$ . Уточнения модели, не препятствующие получению аналитических результатов, ясны: это учет зависимости параметра  $G$  от спина, для чего могут быть использованы сведения из табл. 2.2 монографии [18]. Однако подобная процедура представляется преждевременной, так как система карбин–3d-магнетик, насколько нам известно, исследована довольно слабо [20,21]. В [20] приведены результаты расчетов DFT (density functional theory) структуры и энергии формирования для карбинов, сформированных на переходных металлах (в частности, Cu и Ni), однако речь идет о коротких цепочках, содержащих порядка десятка атомов. В [21] рассмотрен омический контакт органического полупроводника (полиина) с металлической пленкой (в частности, меди и никеля) в приборных структурах. К сожалению, эти работы не содержат информации для корректировки наших моделей. В заключение следует подчеркнуть, что намагниченные низкоразмерные углеродные структуры представляют интерес для создания новых термоэлектрических приборов [22–25], использующих спиновый эффект Зеебека. Далее, прямая интеграция одномерных магнитных наноструктур в электронные схемы имеет решающее значение для реализации их огромного потенциала в качестве компонентов магнитных накопителей, логических устройств и других элементов спинтроники [26]. Уникальной особенностью одномерного магнетизма является возможность его использования в отдельных спиновых цепочках, что стало возможным благодаря разделению магнитных цепочек в структуре на достаточное расстояние, чтобы между соседними цепочками было минимальное взаимодействие [27], а также разработка и изготовление высокоэффективных материалов, поглощающих электромагнитные волны [28].

## Конфликт интересов

Авторы заявляют, что у них нет конфликта интересов.

## Список литературы

- [1] F. Banhart, J. Nanotechnol., **6**, 559 (2015). DOI: 10.3762/bjnano.6.58
- [2] A. Kucherik, A. Osipov, V. Samushkin, R.R. Hartmann, A.V. Povolotsky, M.E. Portnoi, Phys. Rev. Lett., **132**, 056902 (2024). DOI: 10.1103/PhysRevLett.132.056902
- [3] R.A. Ng, A. Kucherik, M.E. Portnoi, R.R. Hartmann, Small Struct., **6**, e202500266 (2025). DOI: 10.1002/sstr.202500266
- [4] С.Ю. Давыдов, ФТП, **53** (7), 971 (2019). DOI: 10.21883/FTP.2019.07.47876.9036 [S.Yu. Davydov, Semiconductors, **53**, 954 (2019). DOI: 10.1134/S1063782619070078].
- [5] S.E. Müller, A.K. Nair, Comput. Mater. Sci., **159**, 187 (2019). DOI: 10.1016/j.commatsci.2018.12.006
- [6] G. Yang, Mater. Sci. Eng. B, **151**, 100692 (2022). DOI: 10.1016/j.mser.2022.100692
- [7] S. Kutrovskaya, A. Osipov, S. Baryshev, A. Zasedatelev, V. Samyshkin, S. Demirchyan, O. Pulci, D. Grassano, L. Gontrani, R.R. Hartmann, M.E. Portnoi, A. Kucherik, P.G. Lagoudakis, A. Kavokin, Nano Lett., **20**, 6502 (2020). DOI: 10.1021/acs.nanolett.0c02244
- [8] R.R. Hartmann, S. Kutrovskaya, A. Kucherik, A.V. Kavokin, M.E. Portnoi, Phys. Rev. Res., **3**, 033202 (2021). DOI: 10.1103/PhysRevResearch.3.033202
- [9] О.М. Браун, В.К. Медведев, УФН, **157** (4), 631 (1989). DOI: 10.3367/UFNr.0157.198904c.0631 [O.M. Braun, V.K. Medvedev, Sov. Phys. Usp., **32**, 328 (1989). DOI: 10.1070/PU1989v032n04ABEH002700].
- [10] С.Ю. Давыдов, ФТТ, **66** (5), 723 (2024). DOI: 10.61011/FTT.2024.05.58086.16 [S.Yu. Davydov, Phys. Solid State, **66**, 701 (2024). DOI: 10.61011/PSS.2024.05.58500.16].
- [11] W.P. Su, J.R. Schrieffer, A.J. Heeger, Phys. Rev. B, **22**, 2099 (1980). DOI: 10.1103/PhysRevB.22.2099
- [12] A.G. Heeger, S. Kivelson, J.R. Schrieffer, W.-P. Su, Rev. Mod. Phys., **60**, 781 (1988). DOI: 10.1103/RevModPhys.60.781
- [13] С.Ю. Давыдов, ФТТ, **58** (4), 779 (2016). [S.Yu. Davydov, Phys. Solid State, **58**, 804 (2016). DOI: 10.1134/S1063783416040041].
- [14] F.D.M. Haldane, P.W. Anderson, Phys. Rev. B, **13**, 2553 (1976). DOI: 10.1103/PhysRevB.13.2553
- [15] С.Ю. Давыдов, О.В. Посредник, Письма в ЖТФ, **47** (11), 37 (2021). DOI: 10.21883/PJTf.2021.11.51006.18650 [S.Yu. Davydov, O.V. Posrednik, Tech. Phys. Lett., **47**, 550 (2021). DOI: 10.1134/S1063785021060079].
- [16] У. Харрисон, *Электронная структура и свойства твердых тел* (Мир, М., 1983), т. 2, гл. 20. [W.A. Harrison, *Electronic structure and the properties of solids* (Freeman, San Francisco, 1980).].
- [17] В.Ю. Ирхин, Ю.П. Ирхин, *Электронная структура, физические свойства и корреляционные эффекты в d- и f-металлах и их соединениях* (УрО РАН, Екатеринбург, 2004), гл. 2.
- [18] *Физические величины*, под ред. И.С. Григорьева, Е.З. Мейлихова (Энергоатомиздат, М., 1991).
- [19] С.Ю. Давыдов, ФТП, **46** (2), 204 (2012). [S.Yu. Davydov, Semiconductors, **46**, 193 (2012). DOI: 10.1134/S1063782612020066].
- [20] Q. Yuan, F. Ding, Nanoscale, **6**, 12727 (2014). DOI: 10.1039/c4nr03757j
- [21] R. Tomov, M. Aleksandrova, Molecules, **28**, 6409 (2023). DOI: 10.3390/molecules28176409
- [22] M.Y. Kim, S.J. Park, G.-Y. Kim, S.-Y. Choi, H. Jin, Energy Environ. Sci., **14**, 3480 (2021). DOI: 10.1039/d1ee00667c
- [23] Y. Ni, G. Deng, J. Li, H. Hua, N. Liu, ACS Omega, **6**, 15308 (2021). DOI: 10.1021/acsomega.1c01640
- [24] L. Xiong, P. Gong, Z. Peng, Z. Yu, Phys. Chem. Chem. Phys., **23**, 23667 (2021). DOI: 10.1039/D1CP03652A
- [25] X. Hu, Y. Ominato, M. Matsuo, arXiv: 2409.18456
- [26] M. Sedrpooshan, C. Bulbucan, P. Ternero, P. Maltoni, C. Preger, S. Finizio, B. Watts, D. Peddis, A.M. Burke, M.E. Messing, R. Westerström, Nanoscale, **15**, 18500 (2023). DOI: 10.1039/d3nr03878e
- [27] E. Park, J.P. Philbin, H. Chi, J.J. Sanchez, C. Occhialini, G. Varnavides, J.B. Curtis, Z. Song, J. Klein, J.D. Thomsen, M.-G. Han, A.C. Foucher, K. Mosina, D. Kumawat, N. Gonzalez-Yepe, Y. Zhu, Z. Sofer, R. Comin, J.S. Moodera, P. Narang, F.M. Ross, Adv. Mater., **36**, 2401534 (2024). DOI: 10.1002/adma.202401534
- [28] H. Jin, M. Liu, L. Wang, W. You, K. Pei, H.-W. Cheng, R. Che, Natl. Sci. Rev., **12**, nwae420 (2025). DOI: 10.1093/nsr/nwae420